

- [3] Васильев А. М., Копьев П. С., Надточий М. Ю., Устинов В. М. // ФТП. 1989. Т. 23. В. 12. С. 2133—2137.
- [4] Болдыревский П. Б., Киселев И. В., Хрыкин О. И., Соловьев А. И. // Физические основы твердотельной электроники. I Всес. конф. Л., 1989. С. 260.
- [5] Карпович И. А., Бедный Б. И., Байдусь Н. В., Планкина С. М., Степихова М. В., Шилова М. В. // ФТП. 1989. Т. 23. В. 12. С. 2164—2170.
- [6] Серафин Б., Беннет Х. // Оптические свойства полупроводников. М., 1970. С. 445—486.
- [7] Костылев С. А., Прохоров Е. Ф., Уколов А. Т. // Обзоры по электрон. техн. Сер. 1. Электроника СВЧ. 1986. № 7. С. 3—9.

Нижегородский  
государственный университет  
им. Н. И. Лобачевского

Получено 14.05.1990  
Принято к печати 1.04.1991

ФТП, том 25, вып. 8, 1991

## ВОЛНЫ ПЕРЕКЛЮЧЕНИЯ ПРИ ОБРАТИМОМ ТЕПЛОВОМ ПРОБОЕ В ПОЛУПРОВОДНИКОВЫХ ПЛАСТИНАХ

Горобец Н. В., Гудыма Ю. В., Лихобабин Н. П.

Глубокая связь между фазовым переходом первого рода и обратимым тепловым пробоем отмечалась в литературе [1]. Как известно, в физических системах автоволны обычно представляют собой движение границы фазового перехода. Поэтому неудивительно существование волн переключения при обратимом тепловом пробое, изучению которых посвящена данная работа.

Кинетику тепловых процессов в полупроводниковой пластине, вдоль оси которой приложено постоянное электрическое поле  $E$ , а на торцах предполагается отсутствие специфических механизмов рассеяния энергии, описывают нелинейным параболическим уравнением

$$\frac{3}{2} n \frac{\partial \Theta}{\partial t} = \kappa \frac{\partial^2 \Theta}{\partial x^2} + \sigma(\Theta) E^2 - nv(\Theta)(\Theta - \Theta_0) \quad (1)$$

с граничными условиями

$$\left. \frac{\partial \Theta}{\partial x} \right|_{x=0, a} = 0. \quad (2)$$

В уравнениях (1), (2) приняты следующие обозначения:  $n$  — концентрация носителей,  $\kappa$  — теплопроводность образца,  $\sigma$  — удельная электропроводимость,  $v(\Theta)$  — частота соударений, обусловливающих передачу тепла в решетку. Электронный газ достаточно большой плотности, так что функцию распределения носителей по энергиям можно считать максвелловской с электронной температурой  $\Theta$ . Температура внешней среды (термостата)  $\Theta_0$  не совпадает с температурой электронного газа.

Пусть  $E=E_0$ ,  $v(\Theta)=\text{const}$ . Температура образца будет определяться балансом тепловыделения  $P$  и теплоотвода  $\Theta$ :

$$\sigma(\Theta) E^2 = nv(\Theta)(\Theta - \Theta_0). \quad (3)$$

Уравнение (3) можно решить графически. В случае обратимого теплового пробоя проводимость образца изменяется скачкообразно. Это приводит к тому, что в зависимости от величины  $E_0$  возможно существование от одного (прямые 1 и 5) до трех (прямая 3) корней уравнения (3), т. е.  $\Theta=\Theta_i$ ; в интервале  $\Theta_1 < \Theta < \Theta_2$  (рис. 1). Такое изменение проводимости не сильно нарушает представление об обычном виде проводимости  $\sigma=\sigma_0 \exp(-\Delta E/2k_B T)$ , где  $\Delta E$  — ширина запрещенной зоны полупроводника.

Исследуем устойчивость решений уравнения (4) по отношению к периодическому в пространстве возмущению (нормальной моде) с длиной волны  $\lambda$  [2]. Тогда отклонения от стационарного состояния равны

$$\Theta'(x, t) = \Theta_k \exp[i(\omega t - kx)], \quad (4)$$

где  $|k| = 2\pi/\lambda$ . Уравнение (1), линеаризованное по малым добавкам  $\Theta'(x, t)$ :

$$\frac{\partial \Theta'}{\partial t} = D \frac{\partial^2 \Theta'}{\partial x^2} + E_0^2 \frac{\partial F}{\partial \Theta'} \Big|_{\Theta=\Theta_i} \Theta'(x, t), \quad (5)$$

после подстановки (4) сводится к дисперсионному уравнению для спектра флюктуаций

$$\omega(k) = i \left( Dk^2 - E_0^2 \frac{\partial F}{\partial \Theta'} \Big|_{\Theta=\Theta_i} \right), \quad (6)$$

где  $F = \sigma(\Theta) - \frac{n\nu(\Theta - \Theta_0)}{E_0}$  и  $D = 2\kappa/3n$ .

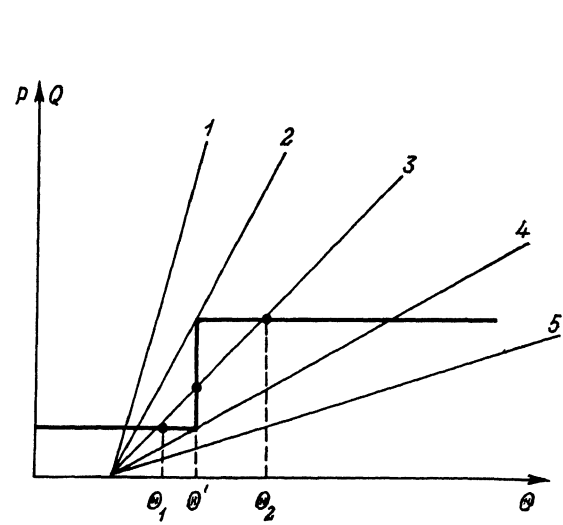


Рис. 1. Графическое решение уравнения (3).

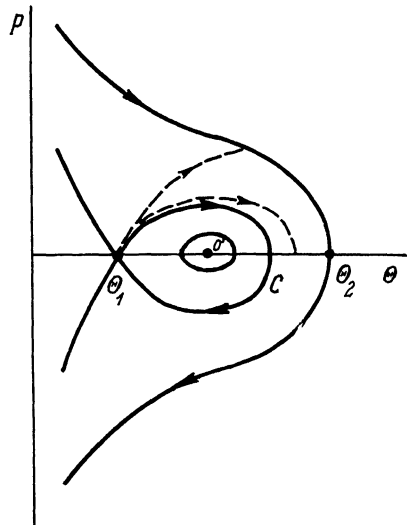


Рис. 2. Фазовые траектории для уравнения (8).

Таким образом, условие устойчивости решения может быть сформулировано в виде следующего графического «правила касательных» [3]: устойчивы те корни уравнения (5), для которых угол наклона  $n\nu(\Theta - \Theta_0)$  в точке  $\Theta = \Theta_i$  больше тангенса угла наклона касательной к кривой  $\sigma(\Theta) E^2$  (рис. 1). В случае  $E^2 \frac{\partial \sigma}{\partial \Theta} \Big|_{\Theta=\Theta_i} > n\nu$  интервал  $0 \leq k \leq k_0$  определяет область неустойчивых значений, где  $k_0 = [(E_0^2 \frac{\partial \sigma}{\partial \Theta} \Big|_{\Theta=\Theta_i} - n\nu)/D]^{1/2}$ . Левый ( $\Theta = \Theta_1$ ) и правый ( $\Theta = \Theta_2$ ) корни на рис. 1 устойчивы, тогда как средний  $\Theta = \Theta'$  неустойчив. Область многозначности  $\Theta (E_0)$  определяется интервалом  $(E_x, E_n)$ . На рис. 1 значениям  $E_x$  и  $E_n$  отвечают предельные положения кривых 2 и 4 соответственно.

Пороговый характер обратимого теплового пробоя позволяет аппроксимировать функцию  $F(\Theta, E_0)$  полиномом третьей степени [4]:

$$F(\Theta, E_0) = K(\Theta - \Theta_1)(\Theta - \Theta')(\Theta_2 - \Theta), \quad (7)$$

где  $\Theta_1 < \Theta' < \Theta_2/2$ . Бегущая волна  $\Theta(x, t) = \Theta(\xi)$ , где  $\Theta(\xi)$  удовлетворяет уравнению

$$D \frac{d^2 \Theta}{d\xi^2} + \lambda \frac{d\Theta}{d\xi} + F(\Theta, E_0) = 0. \quad (8)$$

Для  $\lambda > 0$  всегда существует решение этого уравнения такое, что  $\Theta(\xi) \rightarrow \Theta_1$  при  $\xi \rightarrow -\infty$ ,  $\Theta(\xi) \rightarrow \Theta_2$  при  $\xi \rightarrow +\infty$ . Действительно, для  $\lambda = 0$  любое решение  $\Theta$  удовлетворяет уравнению  $\frac{D}{2} \frac{d\Theta}{d\xi} + \int_0^\Theta F(U, E_0) dU = \text{const}$ , так что орбитой

будет одна из линий уровня, изображенного на рис. 2. Кривая  $C$ , которая обходит вокруг точки  $(\Theta', 0)$ , выходя из левого седла и возвращаясь в  $\Theta_1$ , описывается уравнением  $\frac{D}{2} P^2 + \int_0^\Theta F(U, E_0) dU = 0$ . Она не достигает правой седловой точки  $\Theta = \Theta_2$ , так как  $\int_0^\Theta F(U, E_0) dU \leq 0$  на  $C$ , тогда как  $\int_0^\Theta F(U, E_0) dU > 0$ .

Особая точка уравнения (8) типа центра  $\Theta = \Theta'$  соответствует неустойчивому корню уравнения. Пусть  $\Theta(\xi)$  — решение, начинающееся на неустойчивом многообразии левой седловой точки. Тогда имеем

$$\frac{d}{d\xi} \left[ \frac{D}{2} \left( \frac{d\Theta}{d\xi} \right)^2 + \int_0^\Theta F(U, E_0) dU \right] = \lambda \left( \frac{d\Theta}{d\xi} \right)^2 > 0,$$

пока решение остается в первом квадранте. Если  $\lambda > 0$  мало, то решение близко следует кривой  $C$  и достигает оси  $\Theta$  при  $\Theta < \Theta_2$ . С другой стороны, если  $\lambda$  велико, то решение достигает линии уровня, описываемой уравнением  $\frac{D}{2} \left( \frac{d\Theta}{d\xi} \right)^2 + \int_0^\Theta F(U, E_0) dU = \int_0^{\Theta_2} F(U, E_0) dU$  в точке с  $P > 0$  (рис. 2). Так как неустойчивое многообразие и решение  $\varphi$  непрерывно зависят от  $\lambda$ , существует  $\lambda > 0$  такое, что  $\Theta(\xi) \rightarrow \Theta_2$  при  $\xi \rightarrow +\infty$ . Для этого решения  $Pp > 0$  для всех  $\xi$  и  $\frac{d\Theta}{d\xi} \rightarrow 0$  экспоненциально при  $\xi \rightarrow \mp\infty$ , поскольку  $(\Theta_1, 0)$  и  $(\Theta_2, 0)$  — седловые точки.

Профиль волны переключения и ее скорость в рассматриваемом случае хорошо известны:

$$\Theta = \frac{\Theta_1 - \Theta_2 \exp \left[ (\Theta_2 - \Theta_1) \sqrt{\frac{k}{2D}} (x - \lambda t) \right]}{1 - \exp \left[ (\Theta_2 - \Theta_1) \sqrt{\frac{k}{2D}} (x - \lambda t) \right]}, \quad (9)$$

где  $\lambda = \sqrt{k/2D}$  ( $\Theta_1 + \Theta_2 - \Theta'$ ). Заметим, что в точке  $\Theta' = (\Theta_1 + \Theta_2)/2$  происходит смена знака скорости, что соответствует условию неподвижности фронта волны. В периодических неоднородных бистабильных системах устойчивый неподвижный фронт переключения действует в целом интервале параметра неравновесности системы [5].

В общем случае удобно воспользоваться аналогией уравнения (8) с уравнением движения классической частицы с массой  $D$ , на которую действуют внешняя сила  $F(\Theta, E)$  и сила трения  $\lambda \frac{d\Theta}{d\xi}$ . Тогда выражение для скорости следует из закона сохранения энергии:

$$\lambda = - \frac{\int_{\Theta_1}^{\Theta_2} D F(\Theta, E) d\Theta}{\int_{-\infty}^{+\infty} D \left( \frac{d\Theta}{d\xi} \right)^2 d\xi}. \quad (10)$$

Однако практически использование (10) усложняется тем, что в знаменателе содержится производная  $\frac{d\Theta}{d\xi}$ , зависящая от скорости волны переброса  $\lambda$ .

В полупроводниковых структурах,  $p-n$ -переходы которых включены в обратном направлении, тепловой пробой возникает вслед за лавинным или тунNELьным пробоем при прохождении токов большой плотности и ведет к разрушению прибора при недостаточно интенсивном отводе тепла. Если учесть, что при лавинном пробое  $p-n$ -перехода величина тепловыделения  $P$  может достигать  $10^{10}$  Вт/см<sup>3</sup> [1], то тепловой баланс при флюктуации температуры 100 К может быть обеспечен носителями с концентрацией  $10^{19} \dots 10^{20}$  см<sup>-3</sup> и временами релаксации  $10^{-10} \dots 10^{-12}$  с.

### Список литературы

- [1] Субашиев А. В., Фишман И. М. // ЖЭТФ. 1987. Т. 93. В. 12. С. 2264—2266.
- [2] Эбелинг В. Образование структур при необратимых процессах. Введение в теорию дисипативных структур. М., 1979. 280 с.
- [3] Кочелап В. А., Мельников Л. Ю., Соколов В. Н. // ФТП. 1987. Т. 21. В. 7. С. 1324—1326.
- [4] Бондаренко П. Н., Емельянов О. А., Койков С. А. // Письма ЖТФ. 1989. Т. 15. В. 16. С. 45—48.
- [5] Калафати Ю. Д., Неменущий В. Н., Ржанов Ю. А. // ЖТФ. 1989. Т. 59. В. 9. С. 15—20.

Черновицкий  
государственный университет

Получено 21.12.1990  
Принято к печати 2.04.1991

---

## ТЕМПЕРАТУРНАЯ ЗАВИСИМОСТЬ ФОТОПРОВОДИМОСТИ В $a\text{-Si : H}$ $p$ -ТИПА

Казанский А. Г., Кузнецов С. В.

Фотопроводимость в пленках  $a\text{-Si : H}$   $p$ -типа исследована существенно в меньшей степени по сравнению с фотопроводимостью в нелегированных пленках и пленках  $n$ -типа. В частности, недостаточно изучены температурные зависимости фотопроводимости [1, 2]. В то же время исследование температурных зависимостей  $\Delta\sigma$  позволяет определить механизмы рекомбинации неравновесных носителей в  $a\text{-Si : H}$  и понять влияние на величину фотопроводимости таких характеристик образца, как концентрация дефектов и примесей в нем. Поэтому в настоящей работе были проведены исследования температурных зависимостей фотопроводимости в  $a\text{-Si : H}$   $p$ -типа с различным уровнем легирования.

Исследовались пленки  $a\text{-Si : H}$  толщиной  $\sim 1$  мкм, полученные разложением в ВЧ тлеющем разряде смеси газов моносилана ( $\text{SiH}_4$ ) и диборана ( $\text{B}_2\text{H}_6$ ) при температуре подложки 250 °C. Относительное объемное содержание газов в смеси составляло  $k = [\text{B}_2\text{H}_6]/[\text{SiH}_4] = 3 \cdot 10^{-7} \dots 10^{-3}$ . Измерения проводились в области температур 110—450 K при возбуждении образцов излучением с энергией кванта 1.9 эВ интенсивностью  $I \approx 10^{14}$  см<sup>-2</sup>·с<sup>-1</sup>. Перед измерениями образцы отжигались в вакууме  $10^{-3}$  Па в течение 30 мин при температуре 180 °C.

На рис. 1 для некоторых образцов  $a\text{-Si : H}$ , легированных бором, представлены температурные зависимости фотопроводимости  $\Delta\sigma = \sigma_{\phi} - \sigma_t$ , где  $\sigma_t$  и  $\sigma_{\phi}$  — соответственно проводимость образца в темноте и при освещении его светом. На этом же рисунке для сравнения показана температурная зависимость  $\Delta\sigma$  для нелегированного  $a\text{-Si : H}$ . Зависимости  $\Delta\sigma$  получены в процессе понижения температуры. Как видно из рисунка, для нелегированного  $a\text{-Si : H}$  в области температур 170—210 K наблюдается температурное гашение  $\Delta\sigma$ . Анализ зависимости  $\Delta\sigma(T)$  слабо легированного  $a\text{-Si : H}$  был проведен в работе [3]. Как было показано в [3], в слабо легированном  $a\text{-Si : H}$  фотопроводимость определяется электронами в области низких температур и дырками в области